

# マンガンはニッケル刺激したカルシニューリン活性を不競合的に阻害する

田 中 佑 季<sup>1)</sup>, 大 塚 恵美子<sup>1)</sup>, 保 坂 公 平<sup>2)</sup>, 田 中 進<sup>1)</sup><sup>(1)</sup>高崎健康福祉大学健康福祉学部健康栄養学科\*, <sup>(2)</sup>群馬大学医学部保健学科\*\*)

## Manganese inhibits Nickel-stimulated Calcineurin Enzyme Activity by Uncompetitive Inhibition

Yuki TANAKA<sup>1)</sup>, Emiko OTSUKA<sup>1)</sup>, Kohei HOSAKA<sup>2)</sup> and Susumu TANAKA<sup>1)</sup><sup>1)</sup>Department of Health and Nutrition, Faculty of Health and Welfare, Takasaki University of Health and Welfare,<sup>2)</sup>Department of Basic Sciences for Medicine, Gunma University School of Health Sciences

### Summary

Calcineurin (CN), also known as phosphoprotein phosphatase 2B, is a  $\text{Ca}^{2+}$ /calmodulin-dependent protein serine/threonin phosphatase that plays a pivotal role in a variety of cellular functions, such as immune and nerve systems in our body. It has been shown that the phosphatase activity is stimulated by divalent ions, such as nickel ( $\text{Ni}^{2+}$ ) and manganese ( $\text{Mn}^{2+}$ ) *in vitro*. In the present study, we examined combined effect of  $\text{Mn}^{2+}$  and  $\text{Ni}^{2+}$  on CN activity *in vitro*. Although the combined effect of  $\text{Mn}^{2+}$  on  $\text{Ni}^{2+}$ -stimulated CN activity was not observed, we have found that the activity was inhibited by low concentrations of  $\text{Mn}^{2+}$ . To further examine effect of  $\text{Mn}^{2+}$  inhibition on  $\text{Ni}^{2+}$ -stimulated phosphatase activity, we studied on this inhibition by kinetic analysis. The result showed that  $\text{Mn}^{2+}$  inhibition of  $\text{Ni}^{2+}$ -stimulated CN activity was uncompetitive inhibition using Lineweaver-Burk plot. Inhibition constant ( $K_i$ ) for  $\text{Mn}^{2+}$  was seen at 20.0  $\mu\text{mol/L}$ .

カルシニューリン (CN) は、カルシウム ( $\text{Ca}^{2+}$ ) /カルモジュリン (CaM) 依存性セリン/スレオニンホスファターゼの一種であり、ホスホプロテインホスファターゼ2Bとして知られている。CNは、下等から高等に至るまで、真核生物が示す多くの生命機能において重要な役割を果たしており、例えば、T細胞におけるインターロイキン-2産生<sup>1)</sup>、心臓の形成<sup>2)</sup>、興奮性神経細胞死<sup>3)</sup>などにおいて、重要な役割を担う酵素である。細胞内のCN活性はCa<sup>2+</sup>やCaM、あるいはその他の因子によって厳密に制御されていると考えられるが、一方、CNは *in vitro* では、マンガン ( $\text{Mn}^{2+}$ ) やニッケル ( $\text{Ni}^{2+}$ ) のような二価重金属で活性化(刺激)されることが明らかとなっている<sup>4,5)</sup>。また近年、われわれは生理的濃度の亜鉛 ( $\text{Zn}^{2+}$ ) が  $\text{Ni}^{2+}$ との競合阻害により、CN活性を阻害することを明らかとし<sup>6)</sup>、さらにバナジウム (オルトバナジン酸、メタバナジン酸、バナジル) が  $\text{Ni}^{2+}$ 刺激したCN活性を二相性に阻害することを報告してきた<sup>7,8)</sup>。このようにCNは、多様な微量元素において活性調節を受けることが示されているが、本研究では、CNを活性化する二価重金属の  $\text{Mn}^{2+}$ と  $\text{Ni}^{2+}$ について着目し、研究を行った。とくに *in vitro* では、精製したウシ脳のCNをもっともよく活性化するのは  $\text{Ni}^{2+}$ であ

り、また  $\text{Ni}^{2+}$ と  $\text{Mn}^{2+}$ のCNに対する活性化機構については古くから知られており、両者の結合サイトは異なっている事が示唆されている<sup>9,10)</sup>。したがって、本研究では、このような *in vitro*における  $\text{Ni}^{2+}$ と  $\text{Mn}^{2+}$ によるCNの活性化を更に検討する目的で、 $\text{Ni}^{2+}$ 刺激したCN活性に対する  $\text{Mn}^{2+}$ の相乗効果について調べた。

### 実験方法

#### 1. 試薬

塩化カルシウム ( $\text{CaCl}_2$ )、塩化ニッケル ( $\text{NiCl}_2$ )、塩化マンガン ( $\text{MnCl}_2$ ) は、和光純薬工業株式会社から購入し、ウシ脳から精製したカルシニューリン (CN)、ウシ精巣から精製したカルモジュリン (CaM)、パラニトロフェニルリン酸 (pNPP) は Sigma 社 (St. Louis, MO) の製品を使用した。

#### 2. CN活性の測定

CN活性は高橋等の方法<sup>6)</sup>に従って測定を行った。すなわち、酵素反応溶液は 100 mmol/L HEPES-NaOH (pH 7.5), 1 mmol/L  $\text{CaCl}_2$ , 3 mmol/L pNPPを含む反応溶液にそれぞ

\*所在地：群馬県高崎市中大類町37-1（〒370-0033）

\*\*所在地：群馬県前橋市昭和町3-39-22（〒371-8511）

れ3 UのCNとCaMを加えたものを酵素反応液とした。これに任意の濃度の  $\text{NiCl}_2$  や  $\text{MnCl}_2$  を加え、30°C、60分間、酵素反応を行った。60分後、終濃度で 0.67 mol/L の  $\text{Na}_2\text{CO}_3$  を加え、酵素反応を停止し、酵素反応で生成したパラニトロフェノール (pNP) を  $A_{410}$  で測定することにより、酵素活性を求めた。なお、 $A_{410}$  と脱リン酸化型 pNPP との相関を求めるために、既知濃度の pNP の  $A_{410}$  を測定し、検量線を作成した。

## 結果と考察

今回、われわれの酵素反応系では  $\text{Mn}^{2+}$  や  $\text{Ni}^{2+}$  を添加しないと CN 活性を認めることはできなかったが、 $\text{Mn}^{2+}$  あるいは  $\text{Ni}^{2+}$  の添加により、濃度依存的に CN 活性がそれぞれ上昇することが示された (Fig. 1)。次に、 $\text{Mn}^{2+}$  の  $\text{Ni}^{2+}$  刺激した CN 活性に対する相乗効果を検討するため、 $\text{Ni}^{2+}$

の濃度を 0.03 mmol/L に固定し、酵素反応系に 0.001~1 mmol/L の種々の濃度の  $\text{Mn}^{2+}$  を添加し、CN 活性の測定を行った (Fig. 2)。その結果、意外にも  $\text{Mn}^{2+}$  の相乗効果は観察されず、むしろ、0.001~0.1 mmol/L の  $\text{Mn}^{2+}$  の濃度では CN 活性の阻害を認めた。一方、0.1~1 mmol/L の  $\text{Mn}^{2+}$  の濃度では CN 活性の上昇が見られたが、活性は回復せず、むしろ  $\text{Mn}^{2+}$  単独の刺激で得られる CN 活性と同程度であった。次に今度は  $\text{Mn}^{2+}$  の濃度を 0.5 mmol/L に固定し、酵素反応系に 0.001~1 mmol/L の種々の濃度の  $\text{Ni}^{2+}$  を添加し、CN 活性の測定を行った (Fig. 3)。Fig. 3 に示すとおり、0.01~1 mmol/L の  $\text{Ni}^{2+}$  の濃度では  $\text{Mn}^{2+}$  による CN 活性の阻害が確認された。

したがって、 $\text{Mn}^{2+}$  による  $\text{Ni}^{2+}$  刺激した CN 活性の阻害様式を検討するため、様々な濃度の基質 (パラニトロフェニルリン酸: pNPP) と  $\text{Mn}^{2+}$  の組み合わせでより詳細な阻害実験を行い、キネティック解析による検討を行った。

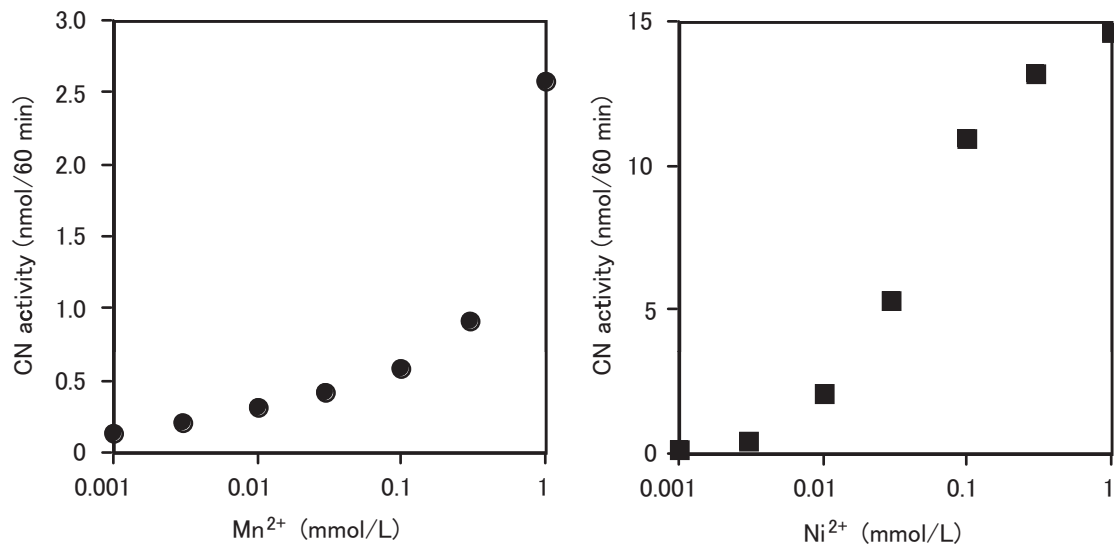


Fig. 1 Effect of  $\text{Mn}^{2+}$  or  $\text{Ni}^{2+}$  concentration on calcineurin activity.

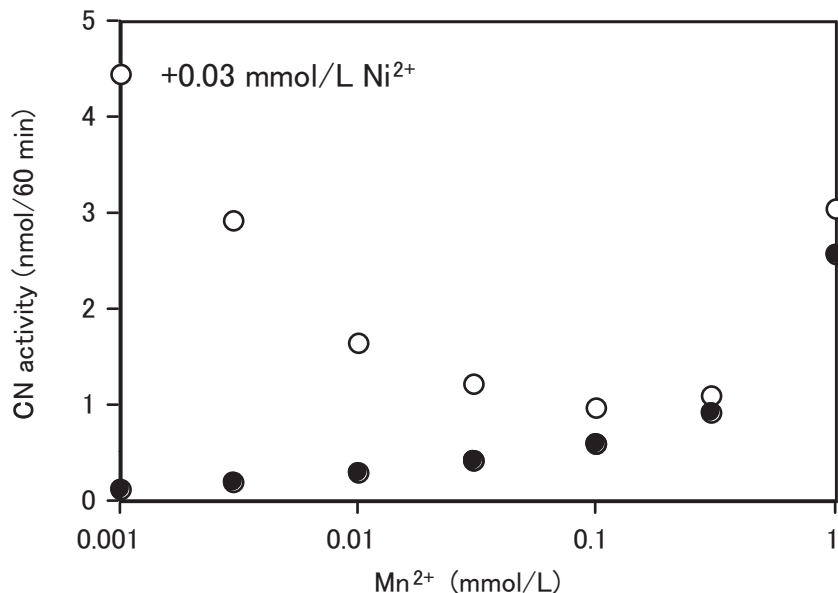
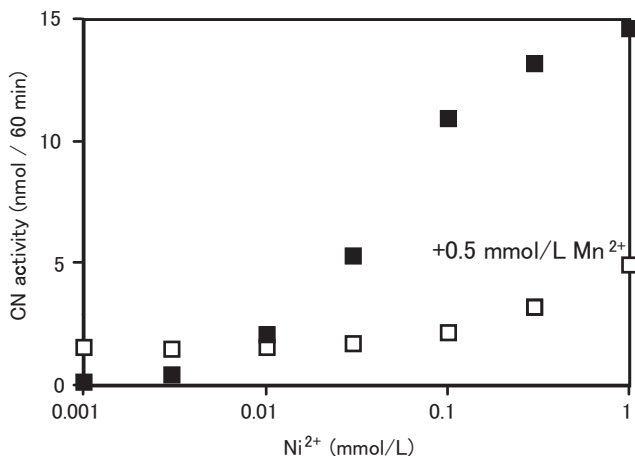
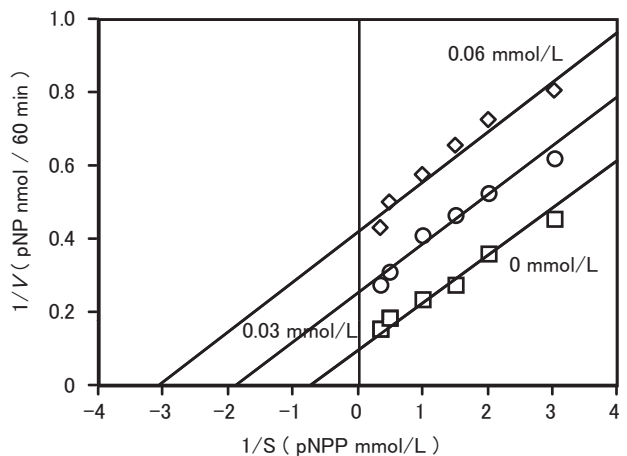


Fig. 2 Effect of  $\text{Mn}^{2+}$  on  $\text{Ni}^{2+}$ -stimulated calcineurin activity.



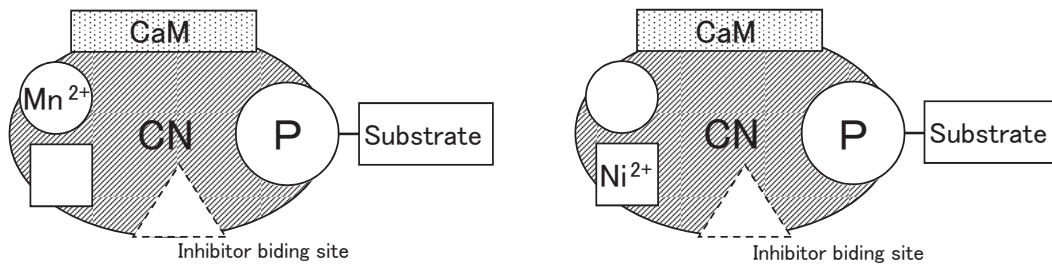
**Fig. 3** Effect of  $\text{Ni}^{2+}$  on  $\text{Mn}^{2+}$ -stimulated calcineurin activity.



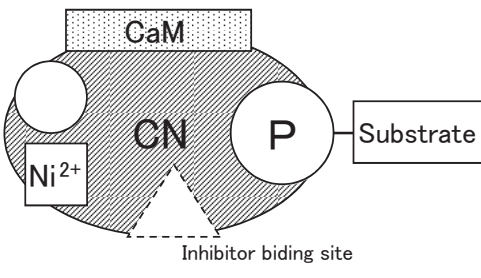
**Fig. 4** Effect of  $\text{Mn}^{2+}$  on the inhibition of calcineurin, which is activated by  $\text{Ni}^{2+}$

**Table 1** Summary of  $V_{\max}$ ,  $K_m$  and  $K_i$  values.

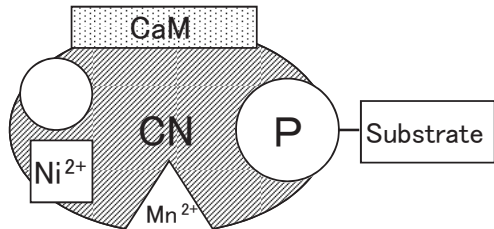
	$V_{\max}$ (nmol/60 min)	$K_m$ or apparent $K_m$ for pNPP (mmol/L)
$\text{Mn}^{2+}$ (0 mmol/L)	10.0	1.25
$\text{Mn}^{2+}$ (0.03 mmol/L)	3.97	0.52
$\text{Mn}^{2+}$ (0.06 mmol/L)	2.35	0.32
$K_i$ for $\text{Mn}^{2+}$ 20.0 ( $\mu\text{mol/L}$ )		



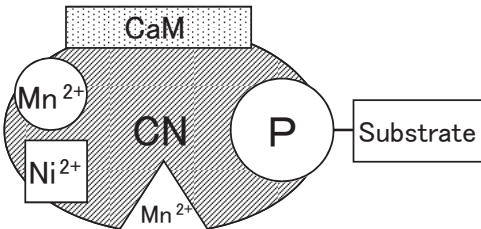
A. Activation of CN by  $\text{Mn}^{2+}$ .



B. Activation of CN by  $\text{Ni}^{2+}$ .



C.  $\text{Ni}^{2+}$ -stimulated CN activity was inhibited at low concentration of  $\text{Mn}^{2+}$  by uncompetitive inhibition.



D.  $\text{Mn}^{2+}$  possesses CN activation at high concentration of  $\text{Mn}^{2+}$  in the presence of  $\text{Ni}^{2+}$ .

**Fig. 5** Proposed scheme for the uncompetitive inhibition of  $\text{Mn}^{2+}$  on  $\text{Ni}^{2+}$ -stimulated calcineurin activity.

$\text{Ni}^{2+}$  の濃度を 0.03 mmol/L に固定して、0.03 mmol/L あるいは 0.06 mmol/L の  $\text{Mn}^{2+}$  を含む系とまったく含まない系（コントロール）において、pNPP の濃度を変化させて CN 活性を測定した。得られた測定結果から Lineweaver-Burk の二重逆数プロットを作成し、キネティック解析を行ったところ Fig. 4 に示すように、 $\text{Mn}^{2+}$  の存在下（0.03 mmol/L あるいは 0.06 mmol/L）および非存在下で、3 つの直線は平行となった。この結果から、 $\text{Mn}^{2+}$  は  $\text{Ni}^{2+}$  刺激した CN 活性に対し、不競合阻害剤として作用していることが示唆

された。次に、Fig. 4 からそれぞれの測定条件での最大反応速度 ( $V_{\max}$ ) とミカリス定数 ( $K_m$ ) を求めたところ、 $\text{Mn}^{2+}$  の存在下で、 $V_{\max}$  と  $K_m$  は低下した (Table 1)。また、 $\text{Ni}^{2+}$  刺激した CN 活性に対する  $\text{Mn}^{2+}$  の阻害定数 ( $K_i$ ) を求めて、平均したところ 20.0  $\mu\text{mol/L}$  であった。

$\text{Mn}^{2+}$  と  $\text{Ni}^{2+}$  は、*in vitro* において CN をよく活性化する二価重金属であり、酵素反応系に両者を添加すると相乗効果により、酵素活性の増加が期待されたが、本研究結果では予想外にも  $\text{Mn}^{2+}$  が  $\text{Ni}^{2+}$  刺激した CN 活性を低下させる

ことが明らかとなった。これは Fig. 2, Fig. 3 の結果から Mn<sup>2+</sup> と Ni<sup>2+</sup> の CN に対する結合サイトが同一であり、結合親和力が Mn<sup>2+</sup> > Ni<sup>2+</sup> のために起こる現象とも解釈できる。実際に Mn<sup>2+</sup> と Ni<sup>2+</sup> の CN に対する結合サイトには諸説があり、以前は Mn<sup>2+</sup> と Ni<sup>2+</sup> は同一サイトに結合して CN を活性化すると推定されていた<sup>5)</sup>。しかしながら、その後、同じ著者等は、CN に対する放射性<sup>63</sup>Ni<sup>2+</sup> と<sup>54</sup>Mn<sup>2+</sup> の結合および非放射性 Ni<sup>2+</sup> と Mn<sup>2+</sup> の競合実験により、2つの金属の CN 上の結合サイトは異なっているという結論を導き出している<sup>9)</sup>。今回、われわれはこの結果と Fig. 4 の結果に基づき、Mn<sup>2+</sup> による Ni<sup>2+</sup> 刺激した CN 活性の阻害のメカニズムについて次の Fig. 5 に示すような仮説を提唱したい。すなわち、CN には活性の発現に必要な Mn<sup>2+</sup> と Ni<sup>2+</sup> の結合部位が別々にあり (Fig. 5A, 5B)，なおかつ、Mn<sup>2+</sup> が結合する阻害剤結合部位が存在する。Ni<sup>2+</sup> 存在下で低濃度の Mn<sup>2+</sup> を添加した場合、Ni<sup>2+</sup> 刺激した CN 活性は Mn<sup>2+</sup> により、不競合的に阻害されるが (Fig. 5C)、一方、Ni<sup>2+</sup> 存在下で高濃度の Mn<sup>2+</sup> を添加した場合は Mn<sup>2+</sup> によるものと思われる CN 活性が出る (Fig. 5D)。今後、この仮説を証明するために、CN 中の活性発現に必要なアミノ酸配列等の具体的な Mn<sup>2+</sup> や Ni<sup>2+</sup> の結合部位や、Mn<sup>2+</sup> が結合する阻害剤結合部位を同定するなどの、更なる詳細な検討が必要であると思われる。

### 謝 辞

本研究の一部は、日本学術振興会科学研究費補助金(19500690), (21500789) の補助のもとに行われた。

### 参考文献

- 1) Crabtree GR (1999) Generic signals and specific outcomes: signaling through Ca<sup>2+</sup>, calcineurin, and NF-AT. *Cell* 96: 611–614.

- 2) Molkentin JD (2004) Calcineurin-NFAT signaling regulates the cardiac hypertrophic response in coordination with the MAPKs. *Cardiovasc Res* 63: 467–475.
- 3) Wu HY, Tomizawa K, Oda Y, Wei FY, Lu YF, Matsushita M, Li ST, Moriwaki A, Matsui H (2004) Critical role of calpain-mediated cleavage of calcineurin in excitotoxic neurodegeneration. *J Biol Chem* 279 (6): 4929–4940.
- 4) Li HC, Chan WW (1984) Activation of brain calcineurin towards proteins containing Thr(P) and Ser(P) by Ca<sup>2+</sup>, calmodulin, Mg<sup>2+</sup> and transition metal ions. *Eur J Biochem* 144: 447–452.
- 5) Pallen CJ, Wang JH (1984) Regulation of calcineurin by metal ions. *J Biol Chem* 259: 6134–6141.
- 6) Takahashi K, Akaishi E, Abe Y, Ishikawa R, Tanaka S, Hosaka K, Kubohara Y (2003) Zinc inhibits calcineurin activity *in vitro* by competing with nickel. *Biochem Biophys Res Commun* 307: 64–68.
- 7) 田中 進, 大塚恵美子, 高橋克典, 増田泰紀, 本間千裕, 宮澤紀子, 保坂公平 (2008) ニッケル刺激したカルシニューリン活性に対するバナジウムの効果. 医学と生物学 152: 88–93.
- 8) 田中佑季, 大塚恵美子, 保坂公平, 田中 進 (2008) ニッケル刺激したカルシニューリン活性におけるバナジウム阻害のキネティック解析. 微量栄養素研究 25: 122–124.
- 9) Pallen CJ, Wang JH (1986) Stoichiometry and dynamic interactions of metal ion activators with calcineurin phosphatase. *J Biol Chem* 261: 16115–16120.
- 10) Mukai H, Ito A, Kishima K, Kuno T, Tanaka C (1991) Calmodulin antagonists differentiate between Ni<sup>2+</sup>- and Mn<sup>2+</sup>-stimulated phosphatase activity of calcineurin. *J Biochem* 110: 402–406.